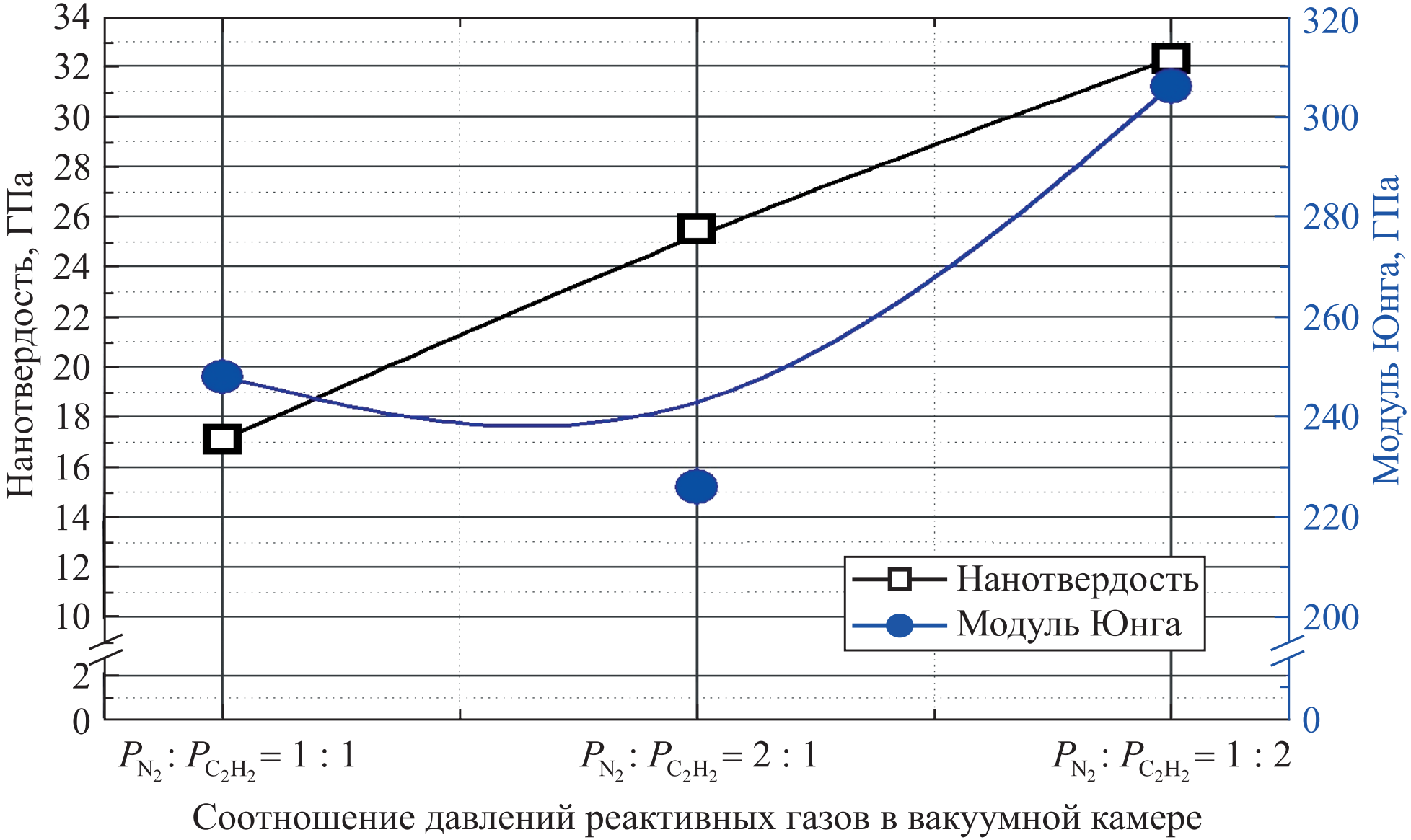

Рис. 10. Зависимости нанотвердости и модуля Юнга покрытий TiAlCN, сформированных с различным соотношением парциальных давлений азота и ацетилена

Fig. 10. Dependences of nanohardness and Young's modulus of TiAlCN coatings formed with different partial pressure ratios of nitrogen and acetylene